

## ارزیابی خوردگی حفره‌ای آلیاژ نانو ساختار آلمینیم AA5052 تولید شده به روش اتصال نوردی تجمعی (ARB) در محیط کلریدی

مهندی فدایی نایینی\*، محمد حسین شریعت، حسن فتاحی و مهدی ایزدجو

دانشگاه شیراز دانشکده مهندسی بخش مهندسی مواد

تاریخ ثبت اولیه: ۱۳۸۸/۳/۲۱، تاریخ دریافت نسخه اصلاح شده: ۱۳۸۸/۷/۲۱، تاریخ پذیرش قطعی:

**چکیده** اتصال نوردی (ARB) تجمیعی یکی از روش‌های نوین شکل‌دهی پلاستیک شدید است که در سال‌های اخیر توسعه یافته و برای تولید ساختارهای نانوکریستالی فلزات مختلف استفاده می‌شود. در این مقاله، قبل از انجام فرایند فوق تا ۵ مرحله، ابتدا ورق‌های اولیه (As-received) از جنس آلیاژ آلمینیوم AA5052 تحت عملیات حرارتی آنیل کامل قرار گرفتند. رفتار خوردگی حفره‌ای این آلیاژ در محلول کلریدسدیم  $3/5$  درصد وزنی قبل و بعد از فرایند اتصال نوردی تجمیعی بررسی شد. پتانسیل مدار باز (OCP) الکتروودها ثبت شد و آزمایش‌های پلاریزاسیون پتانسیوپولامیک و ولتاوتمتری سیکلی انجام گرفت. نتایج به دست آمده نشان می‌دهند که پتانسیل‌های گسیختگی و غیرفعال شدن مجدد لایه اکسیدی (به ترتیب  $E_{bd}$  و  $E_{rp}$ ) نمونه‌های آنیل شده در مقایسه با نمونه‌های اولیه، بسیار بالاتر بودند که مشخص می‌کند مقاومت به خوردگی حفره‌ای بر اثر عملیات حرارتی آنیل بهبود یافته است. از سوی دیگر، فرایند اتصال نوردی تجمیعی اثر محربی روی مقاومت به خوردگی حفره‌ای نمونه‌ها داشته و مقادیر  $E_{bd}$  و  $E_{rp}$  پس از هر مرحله نورد، اندکی به سمت پتانسیل‌های منفی تر منتقل می‌یابد. با وجود این، این مقادیر هنوز بالاتر از مقدار به دست آمده برای نمونه اولیه قبل از آنیل بودند. مشاهدات میکروسکوپ نوری و میکروسکوپ الکترونی روبشی (SEM) از سطح نمونه‌ها پس از گذشت ۳ هفته از آزمایش غوطه‌وری در محیط خورنده، نتایج به دست آمده از آزمایش‌های الکتروشیمیایی را تأیید کرد.

**کلمات کلیدی** آلیاژ آلمینیوم AA5052، نانو ساختار، اتصال نوردی تجمیعی، پلاریزاسیون، خوردگی حفره‌ای.

## Pitting corrosion of nanostructure AA5052 aluminum alloy fabricated by Accumulative Roll-Bonding in chloride media

Mehdi Fadaei Naeini\*, Mohammad Hossain Shariat, Hassan Fattahi, Mehdi Eizadjou

Department of Materials Science and Engineering, Shiraz University

**Abstract** Accumulative Roll-Bonding (ARB) is one of the novel Severe Plastic Deformation (SPD) techniques that was developed in recent years and successfully applied to introduce a nanocrystalline structure in various metals. In this paper, as-received sheets of 5052 aluminum alloy were initially annealed before conducting ARB process up to five passes. Pitting corrosion behavior of AA5052 in 3.5%wt NaCl solution was investigated before and after ARB process. Open Circuit Potential (OCP) of electrodes was recorded and Potentiodynamic Polarization (PP) and Cyclic Voltammetry (CV) tests were carried out. It is found that, in comparison with as-received specimens, breakdown and repassivation potentials ( $E_{bd}$  and  $E_{rp}$ , respectively) of annealed specimens were significantly higher which indicated that pitting corrosion resistance was enhanced due to anneal heat treatment. On the other hand, ARB process had a destructive effect on the pitting corrosion resistance of specimens and  $E_{bd}$  and  $E_{rp}$  values shifted slightly toward negative direction after each pass. However, these values were still above that obtained for as-received condition. SEM and OM microscopy observations of sample surfaces after 3 weeks immersion test confirmed the electrochemical examination results.

**Keywords** AA5052 Aluminum Alloy, Accumulative Roll-Bonding (ARB), Polarization, Pitting Corrosion.

\* عهده‌دار مکاتبات

نشانی: شیراز، دانشگاه شیراز، دانشکده مهندسی، بخش مهندسی مواد

پیام‌نگار: fadaei-naeini@yahoo.com



## ۱\_ مقدمه

شدید بھبود چشمگیری از خود نشان دهنده در ضمن خواص مکانیکی بهتری هم از آنها شاهد خواهیم بود [۵]. در مطالعه و بررسی ماهیت الکتروشیمیایی لایه‌های اکسیدی، پتانسیلی که در آن دانسیته جریان تبادلی به شدت افزایش می‌یابد، پتانسیل شکست لایه اکسیدی<sup>۳</sup> نامیده می‌شود که در آن تخریب موضعی لایه اکسیدی محافظت بر اثر نفوذ یون‌های Cl<sup>-</sup> و جوانه‌زنی حفره‌ها آغاز می‌گردد [۶]. این پتانسیل، به عنوان معیاری برای بررسی مقاومت به خوردگی حفره‌ای به کار می‌رود. بدین صورت که هر چه این پتانسیل بالاتر باشد، مقاومت به حفره‌دار شدن فلز یا آلیاژ بهتر است [۷]. اگرچه تاکنون ریزساختار و خواص مکانیکی آلومینیوم و آلیاژهای آن، تولید شده به روش اتصال نورد تجمعی، مورد تحقیق قرار گرفته‌اند ولی تحقیقات بسیار کمی درباره چگونگی رفتار و خصوصیات خوردگی آلیاژهای بسیار ریزدانه آلومینیوم شکل دهی شده با این تکنیک به عمل آمده است. در تحقیق حاضر رفتار خوردگی آلیاژ آلومینیوم AA5052 (Al-2.5%Mg) پس از فرایند اتصال نوردی تجمعی طی ۵ مرحله نورد در دمای اتاق مطالعه شده است.

## ۲\_ نحوه انجام آزمایش

در تحقیق حاضر از آلیاژ آلومینیوم H18-۵۰۵۲ آنیل شده با ابعاد ۱ میلیمتر ضخامت، ۳۰ میلیمتر عرض و ۲۵۰ میلیمتر طول، و ترکیب شیمیایی ارایه جدول ۱ شده است.

### ۲-۱\_ فرآیند اتصال نوردی تجمعی

فرآیند اتصال نوردی تجمعی ورق‌های آلومینیومی، شامل دو مرحله است. مرحله اول، فرآیند آماده‌سازی سطحی است که شامل چربی‌زدایی سطوح اتصال بین ورق‌های دولایه با

یکی از روش‌های تولید مواد نانوساختار با اعمال تغییر شکل‌های شدید، روش اتصال نوردی تجمعی (ARB)<sup>۱</sup> است. این فرآیند را اولین بار در اوخر دهه ۹۰ Tsuji و همکارانش [۱]، به منظور تغییر شکل‌های پلاستیک شدید بر روی ورق‌های فلزی پیشنهاد و توسعه دادند. به طور کلی روش فوق نسبت به روش‌های دیگر شکل دهی پلاستیک شدید به واسطه سادگی روش (به کارگیری فرآیند ساده نورد) و امکان تولید مواد با ابعاد بزرگ مانند ورق‌ها و تسممه‌ها، کاربرد گسترده‌ای در صنعت پیدا کرده‌اند. با این حال تاکنون به رفتار خوردگی بالک مواد بسیار ریز دانه توجه کمی شده است [۱].

معمولًاً مواد نانوکریستالی به دلیل وجود دانسیته بالای عیوب و سطح بیشتر، مقاومت به خوردگی پایین‌تری نسبت به مواد دانه درشت‌تر همتای خود دارند. آلیاژهای نانوکریستالی Fe-۸%Al در اسید نسبتاً ضعیف مقاومت به خوردگی بالای را از خود نشان می‌دهند؛ در صورتی که در اسیدهای نسبتاً قوی رفتاری متفاوتی دارند [۲]. آزمایشات دیگر نیز نشان می‌دهند که مقاومت به خوردگی نیکل خالص نانوکریستالی تغییری نمی‌کند، در حالی که آلیاژهای Ni-P در حالت نانوکریستالی مقاومت به خوردگی پایین‌تری را نشان داده‌اند [۳،۲].

در حال حاضر، نظر مشخصی در مورد این‌که مواد نانوکریستالی مقاومت به خوردگی بالاتری در مقایسه با مواد پلی‌کریستالی همتای خود دارند، وجود ندارد. علاوه بر این، مقاومت به خوردگی مواد نانوکریستالی به نوع سیستم آلیاژی و محیط خورنده هم بستگی دارد. به طور مشابه مقاومت به خوردگی آلیاژ بسیار ریزدانه AA1050 با افزایش تعداد سیکل‌های روش فشار زاویه‌ای با کانال‌های برابر<sup>۲</sup> بھبود یافت [۴،۲]. بنابراین می‌توان انتظار داشت که مقاومت به خوردگی بالک فلزات نانوساختار تحت فرایندهای شکل دهی پلاستیک

1. Accumulative Roll-Bonding.
2. Equal Channel Angular Pressing.
3. Break Down Potential.

جدول ۱. ترکیب شیمیایی آلیاژ آلمینیوم ۵۰۵۲ به دست آمده از روش اسپکترومتری نشری.

Alloying Element	Mg	Fe	Cr	Si	Ti	Mn	Cu	Zn	Ni	Al
Wt.%	2.48	0.26	0.18	0.085	0.028	0.008	0.004	0.004	0.002	Base

مدل Philips FEG در ولتاژ کاری ۲۰۰kV صورت پذیرفت. نمونه‌های استاندارد و بسیار نازک میکروسکوپ الکترونی عبوری به قطر ۳ میلیمتر موازی با صفحه نورد محلول حاوی ۴۰۰ میلی لیتر  $\text{HNO}_3$  و ۸۰۰ میلی لیتر  $\text{CH}_3\text{OH}$ ، الکترووجت پولیش شدند، به صورتی که مکان مشاهده شده  $400\text{ }\mu\text{m}$  زیر سطح بوده است.

### ۳-۲ آزمایش‌های خوردگی

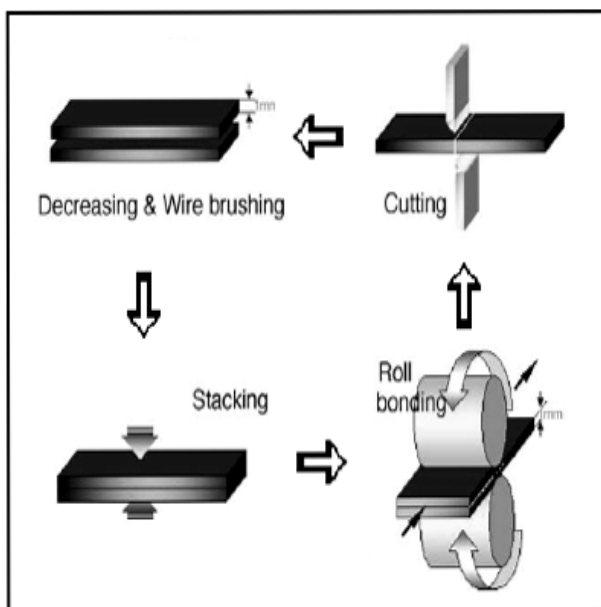
برای تهیه الکترود کاری مورد استفاده در آزمایش‌های

استون و خشکشدن آنها در هوا و سپس بررسی کاری سطوح چربی زدایی شده با بررسی‌های دایره‌ای است. این بررسی‌ها از جنس فولاد با قطر ۹۰ میلیمتر، دارای سیم‌های فولادی به قطر ۲۵ میلیمتر و طول ۲۲ میلیمتر است. شایان ذکر است که زمان بین فرآیند آماده‌سازی سطحی و فرآیند نورد برای جلوگیری و اجتناب از ایجاد لایه‌های اکسیدی مجدد بر روی سطوح ورق‌ها کمتر از ۶۰ ثانیه در نظر گرفته شده است. مرحله دوم، نورد هم‌زمان لایه‌های آماده‌سازی شده می‌باشد. فرآیند فوق با استفاده از یک دستگاه نورد با غلطک‌هایی به قطر ۱۷۰ میلیمتر و سرعت نورد ۵ دور بر دقیقه انجام گرفته است. مراحل فوق برای اعمال کرنش پلاستیک شدید و دست‌یابی به ساختار فوق ریز و نانو طی ۵ مرحله در دمای محیط تکرار خواهد شد. مراحل این فرآیند در شکل ۱ نشان داده شده است.

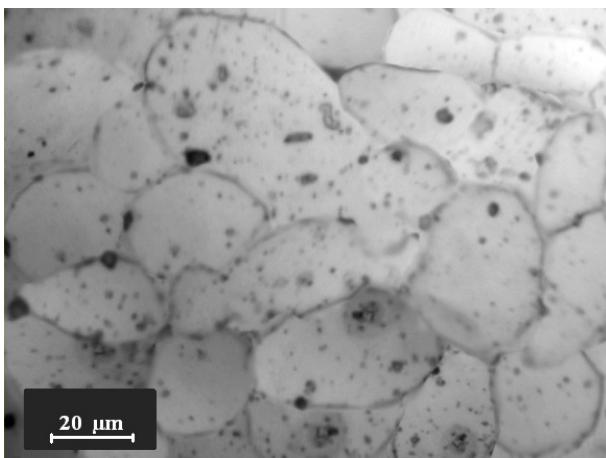
نمونه‌ها پیش از فرآیند اتصال نوردی، در دمای  $550^\circ\text{C}$  به مدت ۳ ساعت تحت عملیات حرارتی آنیل قرار گرفتند.

### ۲-۲- بررسی ریزساختار

به منظور بررسی ساختار ورق‌های آلمینیومی اولیه آنیل شده از میکروسکوپ نوری مدل Stereo Scan استفاده شده است. بدین منظور نمونه‌ها در محلول حاوی ۸۰۰ میلی لیتر اتانول، ۱۴۰ میلی لیتر  $\text{H}_2\text{O}_2$  و ۶۰ میلی لیتر  $\text{HClO}_4$  اچ الکتریکی شدند. ارزیابی ریزساختار مواد اتصال نوردی شده در مراحل مختلف فرآیند، توسط میکروسکوپ الکترونی عبوری (TEM)



شکل ۱. نمایی شماتیک از فرآیند اتصال نوردی تجمعی [۸].



شکل ۲. تصویر میکروسکوپ نوری از ریزساختار آلیاژ آلمینیوم ۵۰۵۲ آنیل شده پس از اج الکتریکی.

همان‌گونه که در شکل ۲ ملاحظه می‌شود نمونه اولیه دارای یک ریزساختار تبلور مجدد یافته با اندازه دانه متوسط ۳۳ میکرون می‌باشد.

شکل ۳ تصویر TEM و الگوی پراش انتخابی<sup>۴</sup> آلیاژ آلمینیوم ۵۰۵۲ را بعد از ۵ مرحله فرآیند اتصال نوردي تجمعی نشان می‌دهد. دانه‌های فوق ریز با ابعاد زیر میکرون در نواحی مختلفی از نمونه مشاهده می‌شوند. در این نمونه، الگوی تفرقی با افزایش کرنش یا به عبارت دیگر افزایش مراحل فرآیند اتصال نوردي از حالت شبکه‌ای واحد<sup>۵</sup> خارج شده و یک الگوی تفرقی پراکنده را نشان می‌دهد. همچنین با توجه به توزیع نقاط تفرقی به صورت حلقه، افزایش مرزهای با زاویه کج بالا را هم تأیید می‌کند [۱۱]. بعد از ۵ مرحله فرآیند اتصال نوردي تجمعی، ریزساختار شامل دانه‌های فوق ریز و به صورت یکنواخت دیده می‌شود. تصاویر بیانگر شکستن و ریز شدن دانه‌هاست. اندازه متوسط دانه‌ها یا زیردانه‌های محاسبه شده از تصاویر TEM در این مرحله کمتر از ۲۰۰ nm در صفحه نوردي می‌باشد.

4. Selected Area Diffraction (SAD).

5. Single Net Pattern.

الکتروشیمیایی، دیسک‌هایی از ورق آلمینیوم به ضخامت ۱mm و سطح مقطع ۱cm<sup>2</sup> ماشین کاری شدند. قبل از هر آزمایش، نمونه‌ها طبق استاندارد ASTM G1-۹۰ [۹]، با سمباده از جنس SiC و مش‌های به ترتیب ۱۰۰۰، ۲۰۰۰ و ۴۰۰۰ به صورت مکانیکی پولیش تر شدند و پس از شستشو با آب و مواد شوینده، با استون چربی‌زدایی شدند. آزمایش‌های خوردگی با دستگاه پتانسیواستات مدل Autolab type III ساخت شرکت Ecochemie و در محلول کلرید سدیم ۳/۵ درصد وزنی به عنوان محیط خورنده، انجام گرفت. تمامی پتانسیل‌ها در مقابل الکترود مرجع Ag/AgCl [3M KCl] استفاده شد. پتانسیل مدار باز (OCP) نمونه‌ها پس از گذشت ۱۲ ساعت زمان تعادل، به مدت ۱۰۰ ثانیه اندازه‌گیری شده و آزمایش‌های پلاریزاسیون پتانسیودینامیک (PP) و ولتا متري سیکلی (CV) با نرخ روبش ۵ mV/s انجام گرفت. برای آزمایش غوطه‌وری، نمونه‌ها طبق استاندارد ASTM G31-۷۲ [۱۰]، به مدت ۳ هفته در محیط خورنده با دمای محیط قرار گرفتند. سطح نمونه‌ها جهت بررسی مورفو‌لوزی حفره‌ها، پس از انجام آزمایش ولتا متري سیکلی، با میکروسکوپ نوری مدل Stereo Scan و پس از تست غوطه‌وری به کمک میکروسکوپ الکترونی روبشی (SEM) مطالعه و بررسی شدند.

### ۳- نتایج و بحث

#### ۳-۱- ریزساختار

به منظور حصول یک اطلاعات مرجع، ساختار ورق‌های آنیل شده اولیه با میکروسکوپ نوری (شکل ۲) بررسی شد.

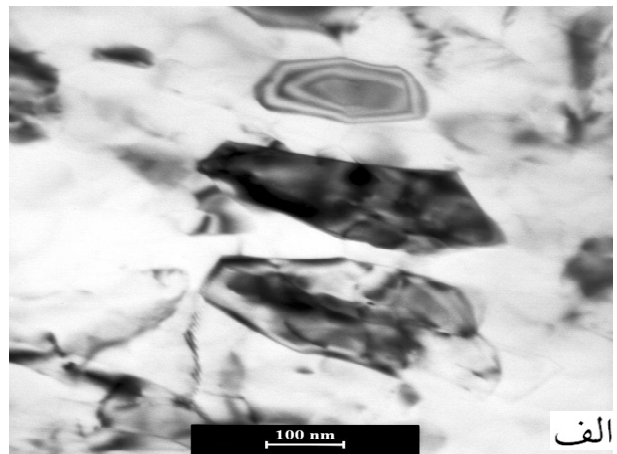
### ۲\_۳ آزمایش‌های الکتروشیمیایی

#### ۱\_۲\_۳ آزمایش پلاریزاسیون پتانسیودینامیک (PP)

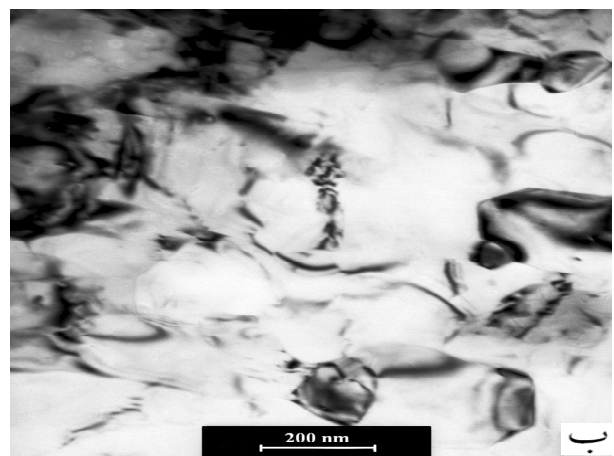
شکل ۴-(الف) منحنی‌هایی‌های پلاریزاسیون پتانسیودینامیک برای نمونه‌های اولیه آنیل شده را پس از ۱۲ ساعت غوطه‌وری در محلول  $5\% \text{ NaCl}$  نشان می‌دهد. همان‌طور که از منحنی‌ها نیز مشخص است، شاخه کاتدی، شاخه آندی پلاریزاسیون را در ناحیه پسیو قطع کرده است که بیان گر تشکیل لایه اکسیدی محافظ روی آلیاژ در این محیط است [۱۲]. همان‌گونه که در شکل ۴ ملاحظه می‌شود پتانسیل شکست لایه اکسیدی بر اثر اعمال عملیات آنیل به طور چشمگیری (در حدود  $100 \text{ mV}$ ) افزایش یافته که نشانگر بهبود خواص خوردگی حفره‌ای نمونه آنیل است. شکل ۴-(ب) همین منحنی‌ها را برای نمونه‌های آنیل شده، مرحله ۳ و مرحله ۵ نشان می‌دهد. اثر منفی فرایند اتصال نوردي تجمعی بر روی مقاومت به خوردگی حفره‌ای نمونه‌ها کاملاً مشخص است به طوری که با افزایش مراحل فرایند، پتانسیل شکست لایه اکسیدی به تدریج کم می‌شود. با وجود این،  $E_{bd}$  پس از اعمال ۵ مرحله فرایند اتصال نوردي هنوز از حالت اولیه بالاتر است. این موضوع در شکل ۴-(ج) نشان داده شده است.

#### ۲\_۳ آزمایش ولتاوری سیکلی (CV)

منحنی‌های ولتاوری سیکلی برای آلیاژ آلومینیوم در حالت اولیه و نیز آنیل شده در شکل ۵-(الف) نشان داده شده است. همان‌طور که ملاحظه می‌شود، پتانسیل غیرفعال شدن مجدد در حالت آنیل شده بسیار (در حدود  $30 \text{ mV}$ ) بالاتر از حالت اولیه است. شکل ۵-(ب) همین منحنی‌ها را برای نمونه‌های آنیل شده، مرحله ۳ و مرحله ۵ فرایند نشان می‌دهد؛ به طوری که با افزایش مراحل پتانسیل غیرفعال شدن مجدد به



الف

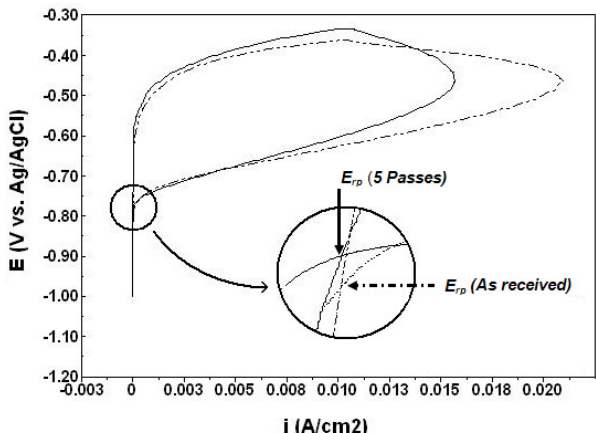
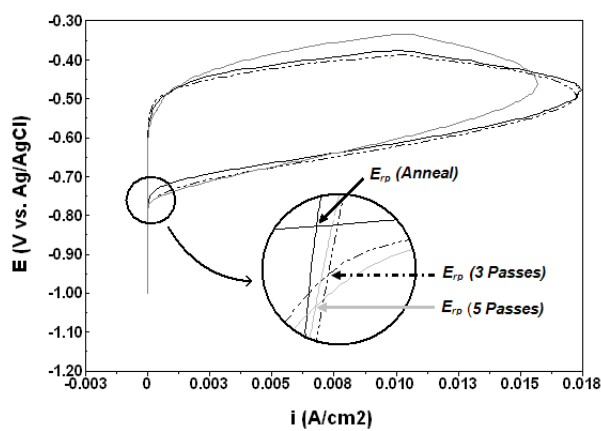
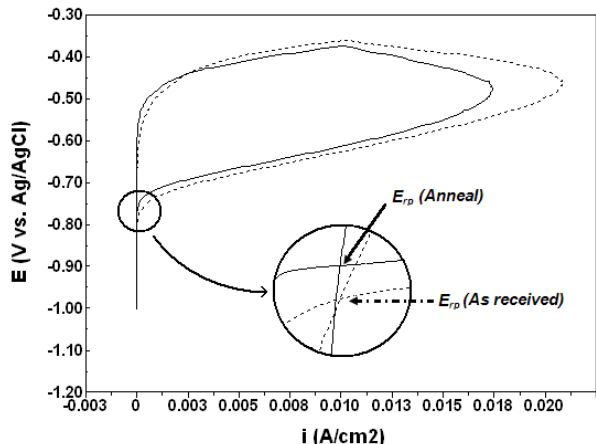


ب

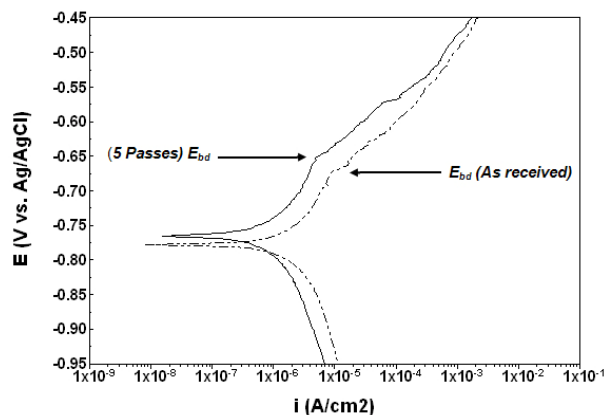
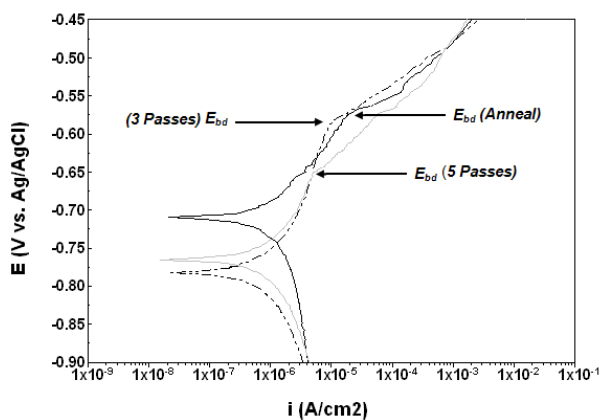
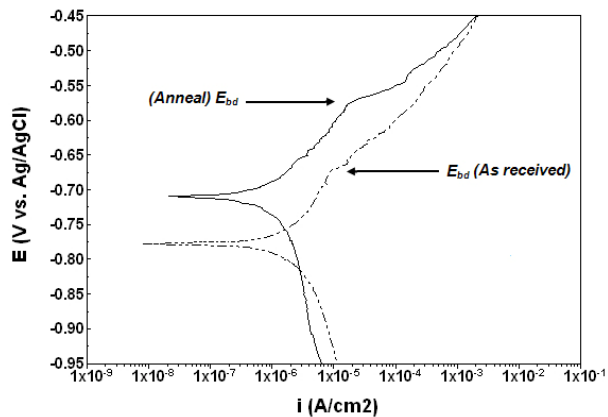


ج

شکل ۳-(الف،ب) تصویر الکترونی عبوری TEM و (ج) الگوی پراش SAD از صفحه نوردی پس از مرحله پنجم از فرآیند ARB.



شکل ۴- منحنی های پلاریزاسیون پتانسیو دینامیک نمونه های آلمینیوم ۵۰۵۲ در محلول ۳/۵٪ NaCl در حالت های (الف) اولیه و آنیل، (ب) آنیل، ۳ و ۵ مرحله ARB شده، (ج) اولیه و ۵ مرحله ARB شده



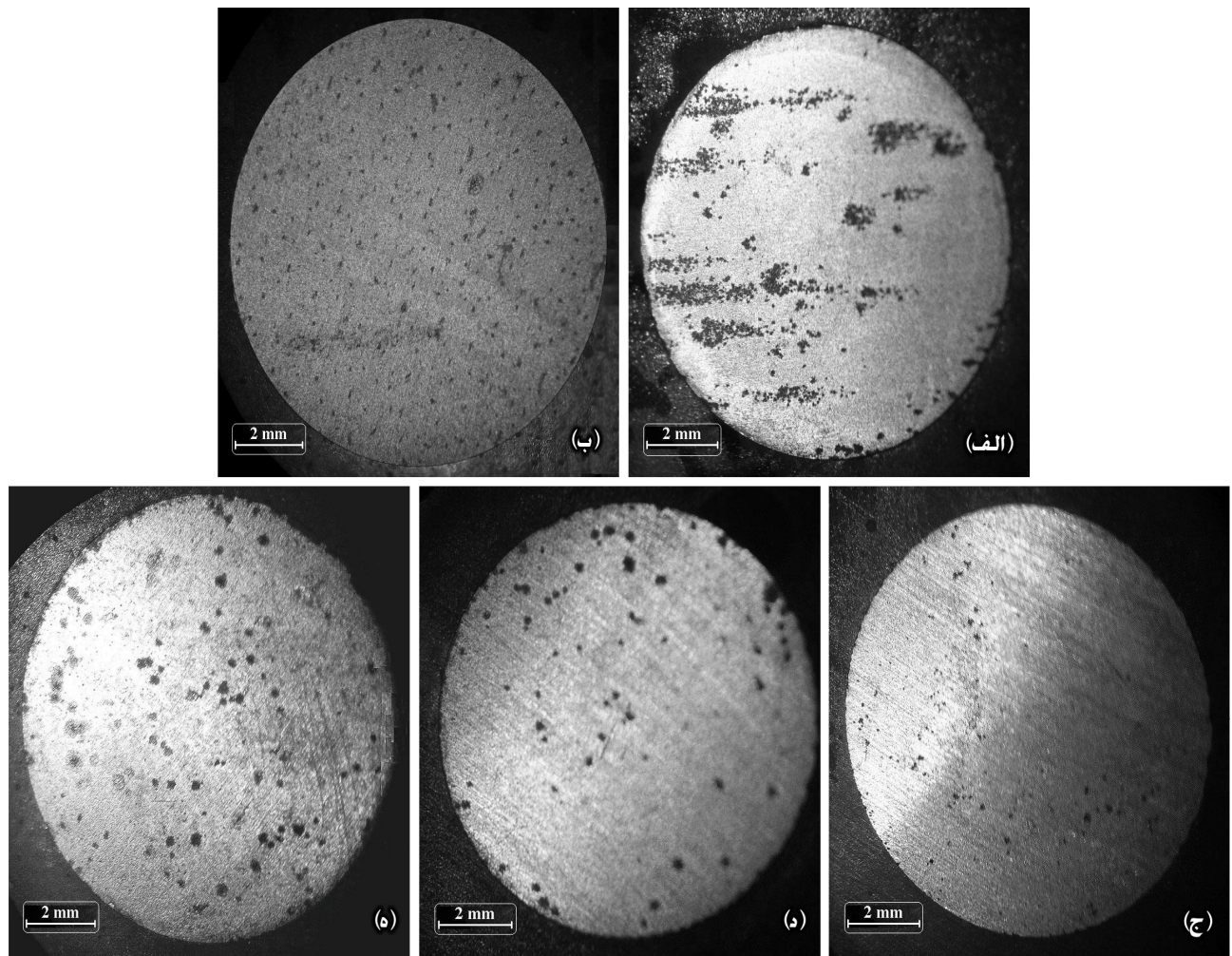
شکل ۴- منحنی های پلاریزاسیون پتانسیو دینامیک نمونه های آلمینیوم ۵۰۵۲ در محلول ۳/۵٪ NaCl در حالت های (الف) اولیه و آنیل، (ب) آنیل، ۳ و ۵ مرحله ARB شده، (ج) اولیه و ۵ مرحله ARB شده

پس از آزمایش‌های الکتروشیمیایی نشان می‌دهد. در نمونه اولیه شدت حفره‌دارشدن زیاد است و حفره‌ها در امتداد جهت نورد اولیه ورق کشیده شده‌اند. در مقایسه با آن، حفره‌های ایجاد شده بر روی نمونه آنیل شده، ریزتر، با عمق کمتر و توزیع کاملاً یکنواخت بر کل سطح مشاهده می‌شوند. اما مطابق انتظار، با افزایش مراحل فرایند نورد بر شدت حملات حفره‌ای افزوده شده و توزیع آنها غیر یکنواخت‌تر می‌شود.

تدریج کم شده است. اما همان‌طور که در شکل ۵-(ج) نیز آمده است، این مقدار پس از انجام آخرین مرحله هنوز از حالت اولیه اندکی بالاتر است.

### ۳-۲-۳- مشاهدات میکروسکوپ نوری استریو از حفره‌های ایجاد شده

شکل ۶ تصویر حفرات تشکیل شده بر سطح نمونه‌ها را

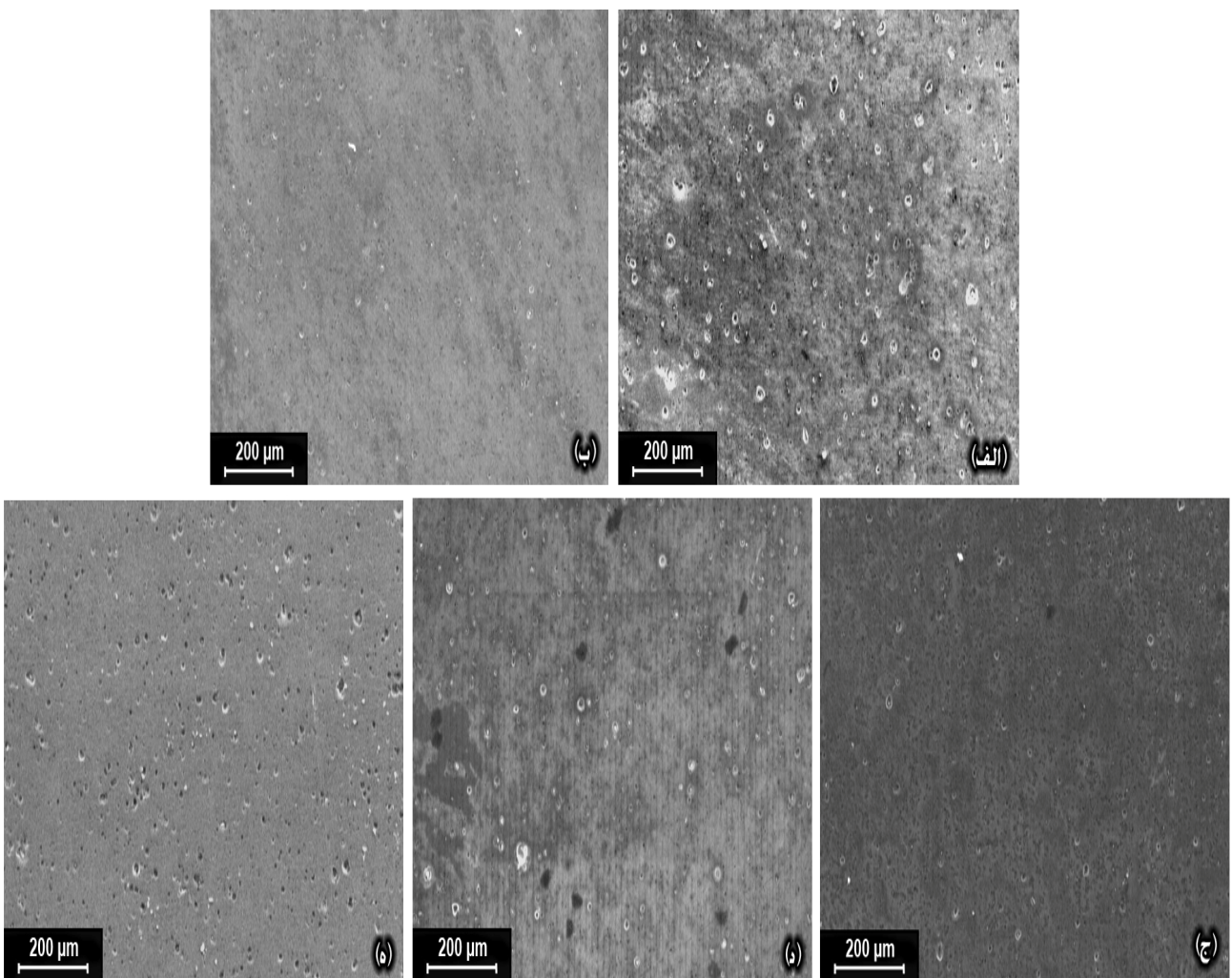


شکل ۶- تصاویر میکروسکوپ نوری استریو از حفره‌های تشکیل شده بر روی آلومینیوم ۵۰۵۲ پس از آزمایش ولتاوری سیکلی در حالت‌های (الف) اولیه، (ب) آنیل، (ج) ۱ مرحله، (د) ۳ مرحله و (ه) ۵ مرحله ARB شده

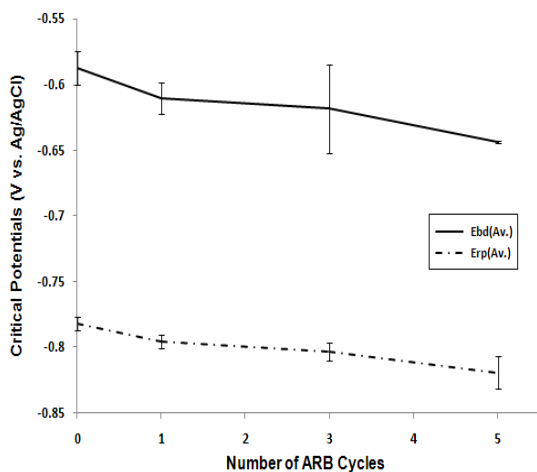
شدت حملات خوردگی حفره‌ای در نمونه آنیل شده در مقایسه با نمونه اولیه به مراتب کمتر شده است. از سوی دیگر با اعمال مراحل فرایند اتصال نوردی تجمعی روی نمونه آنیل شده تا ۵ مرحله، به تدریج بر شدت خوردگی حفره‌ای افزوده شده است. با وجود این، بایستی توجه داشت که شدت تخریب سطح نمونه پس از آخرین مرحله فرایند هنوز از

### ۳-۳- آزمایش غوطه‌وری

به منظور تایید نتایج آزمایش‌های الکتروشیمیابی، آزمایش غوطه‌وری نمونه‌های آلومینیوم AA5052 به مدت ۳ هفته در محلول  $\text{NaCl} 3/5\%$  انجام گرفت. شکل ۷، تصاویر میکروسکوب الکترونی روشی (SEM) از سطح این نمونه‌ها را نشان می‌دهد. همان‌طور که در شکل ۷ ملاحظه می‌شود،



شکل ۷- تصاویر SEM از حفره‌های تشکیل شده بر روی آلومینیوم ۵۰۵۲ پس از ۳ هفته غوطه‌وری در محیط خورنده در حالت‌های (الف) اولیه، (ب) آنیل، (ج) ۱ مرحله، (د) ۳ مرحله و (ه) ۵ مرحله ARB شده



شکل ۸ منحنی تغییرات  $E_{bd}$  و  $E_{rp}$  بر حسب تعداد مراحل ARB برای آلومنیوم ۵۰۵۲.

اتصال نوردي تجمعی از دو طریق می‌تواند بر خوردگی حفره‌ای آلياژهای آلومنیوم موثر باشد. چنین به نظر می‌رسد که ایجاد کرنش پلاستیک شدید، افزایش دانسته نابجایی‌ها، ریز دانه شدن و در نتیجه افزایش سطح انرژی آلياژ در حین فرایند ARB، عده‌ترین عامل کاهش مقاومت به خوردگی حفره‌ای این آلياژ باشد. از سوی دیگر اعمال کرنش برشی شدید ضمن این فرایند، سبب افزایش، ریز شدن و توزیع یکنواخت تر فازهای بین فلزی در زمینه آلياژ می‌شود [۱۵]. در ساختار آلياژ ۵۰۵۲ مورد استفاده در این مقاله، فازهای بین فلزی کاتدی نظیر  $\text{Al}_6(\text{Fe},\text{Mn},\text{Cr},\text{Si},\text{Cu})$  و نیز فازهای بین

فلزی آندی حاوی  $\text{Mg}$  حضور دارند [۱۶]. حفره‌دار شدن با تشکیل پبل‌های گالوانیکی موضعی در فصل مشترک زمینه/فاز ثانویه آغاز می‌شود. رشد حفره‌ها در فازهای کاتدی در نواحی مجاور فاز و در فازهای آندی در داخل فاز رخ می‌دهد [۱۵]. افزایش تعداد محلهای جوانه‌زنی حفره‌ها (فازهای بین فلزی) در حین فرایند نورد می‌تواند تا حدودی باعث بهبود شرایط

حالت اولیه تا حدودی کمتر به نظر می‌رسد.

همان‌طور که از منحنی‌های شکل‌های ۴-(الف) و ۵-(الف) و نیز مشاهدات میکروسکوپی مشخص است، اعمال یک مرحله عملیات آنیل بر روی ورقهای اولیه قبل از انجام فرایند اتصال نوردی تجمعی، به طور چشمگیری مقاومت به خوردگی حفره‌ای را بهبود می‌بخشد. دلیل این امر بزرگ شدن اندازه دانه و کمتر شدن مرز دانه‌ها و نیز کاهش عیوب نقطه‌ای مانند جاهای خالی در داخل فیلم محافظ است. به عبارت دیگر انرژی سطحی بر اثر عملیات آنیل کاهش می‌یابد [۱۶]. بر اساس مدل عیب نقطه‌ای در بیان مکانیزم حفره‌دار شدن آلياژهای آلومنیوم، یون‌های  $\text{Cl}^-$  با اشغال جاهای خالی آئیونی درون فیلم اکسیدی نفوذ می‌کنند. در نتیجه جاهای خالی آئیونی کاهش یافته و در عوض تعداد جاهای خالی کاتیونی زیاد می‌شود. بر اثر تجمع جاهای خالی کاتیونی در فصل مشترک فلز/اکسید، فیلم محافظ از آن محل دچار شکست و گسیختگی موضعی می‌شود [۱۳]. نتایج حاصل از روش‌های آنالیز نظری XPS و غیره حاکی از جذب سطحی یون  $\text{Cl}^-$  بر لایه اکسیدی است. با توجه به وجود عیوب و ناخالصی‌ها در ساختار لایه اکسیدی، انرژی جذب سطحی یون کلر از محلی به محل دیگر متفاوت است. بدین صورت که محلهای با انرژی بالاتر تمایل به جذب بیشتر یون کلر را دارند [۱۶]. توزیع حفره‌های ایجاد شده در نمونه اولیه در راستای جهت نورد اولیه ورق نیز می‌تواند ناشی از وجود محلهای با انرژی بالاتر در این راستا باشد. با توجه به شکل‌های ۴-(ب) و ۵-(ب) و نیز تصاویر میکروسکوپی از حفره‌ها مشاهده می‌شود که با انجام مرحله به مرحله فرایند اتصال نوردی، مقاومت به حفره‌دار شدن آلياژ به تدریج کاهش می‌یابد. شکل ۸ منحنی تغییرات پتانسیل‌های بحرانی خوردگی حفره‌ای ( $E_{bd}$  و  $E_{rp}$ ) بر حسب تعداد مراحل فرایند ARB را نشان می‌دهد که مقادیر این پتانسیل‌ها با افزایش تعداد مراحل، کاهش یافته‌اند. فرایند

خوردگی حفره‌ای شود [۱۳]. ولی تأثیر این عامل در مقایسه با عامل اول کمتر به نظر می‌رسد.

## تشکر و قدردانی

بدین‌وسیله از زحمات بی‌درباره آقای دهقانیان برای انجام فرایند نورد و نمونه‌سازی، خانم مهندس منصف برای انجام آزمایش‌های الکتروشیمیایی، خانم مهندس پایدار و خانم کاوه برای تهیه تصاویر میکروسکوپی تشکر و قدردانی می‌شود.

## مراجع

1. Valiev, R.Z., "Nanostructuring of Metals by Severe Plastic Deformation for Advanced Properties", *Nature Materials*, Vol. 3 (2004) 511–516.
2. Wei, W., Xia, K., Du, Q.B., "Corrosion and tensile Behavior of UFG Al-Mn alloy produced by Accumulative roll-bonding", Department of materials science and engineering, Jiangsu polytechnic university, china, 2006.
3. M. Bethencourt, F.J. Botana, M.A. Cauqui, M. Marcos, M.A. Rodríguez, J.M. Rodríguez Izquierdo, "Protection against corrosion in marine environments of AA5083 Al-Mg alloy by lanthanide chlorides", *Journal of Alloying Compounds*, Vol. 250, 1997, pp. 455–460.
4. Y.R. Kolobov, G.P. Grabovetsk, K.V. Ivanov and M.B. Ivanov, "Diffusion and properties of bulk nanostructured materials process by severe plastic deformation", *Chemistry for sustainable development*, No. 10, 2002, pp. 65-71.
5. P. B. Prangnell, J. R. Bowen, P. J. Apps, "Ultra-Fine Grain Structures in Aluminium Alloys by Severe Deformation Processing ", *Materials Science and Engineering A*, 2003, No. 375-377, pp. 178-185.
6. J.R. Galvele, S.M. de Micheli, I.L. Muller, S.B. DeWexler, and I.L. Alanis, "Critical Potentials for Localized Corrosion of Aluminum Alloys", in Localized Corrosion, B.F. Brown, J. Kruger, and R.W. Staehle, Ed., *National Association of Corrosion Engineers*, 1974, pp. 580-589.
7. H. Kaesche, "Investigation of Uniform Dissolution and Pitting of Aluminum Electrodes", Werkst. Korros., Vol. 14, 1963, pp 557-559.
8. Y. Saito, H. Utsunomia, N. Tsuji, T. Sakai, "Novel Ultra-High Straining Process for Bulk Materials Development of the Accumulative Roll-Bonding (ARB) Process ", *Acta material* Vol. 47, No. 2, 1999, pp. 579-583.
9. Annual Book of ASTM Standards, "Standard Practice for Preparing, Cleaning, and Evaluating Corrosion Test Specimens", Vol. 03.02, 2002.

## ۴- نتیجه‌گیری

در تحقیق حاضر تغییرات ریزساختار و مقاومت به خوردگی حفره‌ای آلیاژ آلمینیوم ۵۰۵۲ پس از اعمال تغییر شکل پلاستیک شدید توسط فرآیند اتصال نوردی تجمعی مطالعه شده است که نتایج به دست آمده را می‌توان به صورت زیر خلاصه کرد:

اندازه متوسط دانه‌ها یا زیردانه‌های آلیاژ آلمینیوم ۵۰۵۲ بعد از ۵ مرحله به شدت کاهش یافته و به میزان کمتر از ۲۰۰ nm در صفحه نوردی رسیده است. الگوی پراش انتخابی بعد از مرحله ۵ فرآیند فوق، حضور مرزهای با زاویه کج بالا را ناشی از توزیع نقاط تفرقی به صورت حلقه نشان می‌دهد.

اعمال یک مرحله عملیات آنیل بر روی ورق‌های اولیه قبل از انجام فرایند ARB به طور چشمگیری مقاومت به خوردگی حفره‌ای را بهبود می‌بخشد. انجام فرایند اتصال نوردی تجمعی روی نمونه‌های آنیل شده، مقاومت به حفره‌دار شدن آلیاژ را کاهش می‌دهد. ایجاد تغییر شکل پلاستیک شدید، افزایش دانسیته نابجایی‌ها، ریزدانه شدن و در نتیجه افزایش سطح انرژی آلیاژ در حین این فرایند، عمدت‌ترین عامل کاهش مقاومت به خوردگی حفره‌ای این آلیاژ محسوب می‌شود.

شایان ذکر است که اعمال ۵ مرحله فرایند نورد بر روی آلیاژ آلمینیوم ۵۰۵۲ در مقایسه با حالت اولیه، در کنار افزایش شدید خواص مکانیکی، باعث افت مقاومت به حفره‌دار شدن آن نمی‌شود و حتی تا حدودی نیز بهبود می‌بخشد.

- corrosion** NACE 3, R.W. Staehle, B.F. Brown, J. Kragur, ed.6, NACE, 1974, pp.516-525.
14. Z. Szklarska-Smialowska, "Pitting corrosion of aluminum", **Corrosion Science**, Vol. 41, 1999, pp 1743-1767.
15. E. Akiyama, Z. Zhang, Y. Watanabe and K. Tsuzaki, "Effects of severe plastic deformation on the corrosion behavior of aluminum alloys", **Journal of Solid State Electrochemistry**, <http://www.springerlinks.com>, DOI 10.1007/s10008-007-0496-9.
16. F. Lockwood, S. Lee, J. Faunce and J.A.S. Green, "Pitting corrosion of 5052 aluminum alloy", **Applications of Surface Science**, Vol. 20, 1985, pp. 339-346.
10. Annual Book of ASTM Standards, "Standard Practice for Laboratory Immersion Corrosion Testing of Metals", Vol. 03.02, 2002.
11. X. Huang, N. Tsuji, Y. Minamino, N. Hansen, "Characterization of Ultra-Fine Microstructures in Aluminum Heavily Deformed by Accumulative Roll-Bonding (ARB)" "Proceeding of the 22th Riso international symposium on material science, Riso national laboratory, Roskilde, Denmark, 2001, pp. 255-262.
12. E. E. Stansbury, R. A. Buchanan, "Fundamentals of Electrochemical Corrosion", 3th edition, McGraw-Hill, 1997, pp. 232-235.
13. H. Kaesche, " Pitting corrosion of Aluminum and Intergranular corrosion of Aluminum alloys", **Localized**